

# ЭФФЕКТ РАЗМЕРНОГО КВАНТОВАНИЯ И СИЛЬНЫЕ ОПТИЧЕСКИЕ НЕЛИНЕЙНОСТИ В ПОРИСТОМ КРЕМНИИ

*Б.С.Днепровский, В.А.Караванский\*, В.И.Климов, А.П.Масюк\**

*Московский государственный университет им. М.В.Ломоносова  
119899 Москва, Россия*

*\*Институт общей физики РАН  
117942 Москва, Россия*

Поступила в редакцию 25 февраля 1993 г.

Обнаружены полосы просветления в развернутых во времени спектрах нелинейного пропускания пористого кремния, объясненные насыщением оптических переходов между уровнями размерного квантования в системе пространственно локализованных носителей.

Фотолюминесценция пористого кремния (ПК) в видимом диапазоне спектра может быть объяснена эффектом пространственного квантования носителей в тонких кремниевых нитях, образующихся в результате электрохимического травления исходного объемного материала<sup>1,2</sup>. Однако дискретная структура оптических переходов, связанных с размерным квантованием носителей, до сих пор не наблюдалась ни в спектрах линейного поглощения, ни в спектрах люминесценции ПК.

В настоящей работе методами разрешенной во времени нелинейной спектроскопии пропускания зарегистрированы полосы просветления, объясненные насыщением оптических переходов в системе пространственно локализованных носителей. Наблюдаемые нелинейности характеризуются высокими значениями нелинейной кубической восприимчивости (до  $10^{-8}$  СГС) и короткими релаксационными временами (около 40 пс).

Образцы ПК выращивались методом анодного травления (электролит – 50%-ный раствор HF в этаноле, плотность тока – 30 мА/см<sup>2</sup>) на подложке (111) сильнолегированного кремния *n*-типа. Пористый слой отделялся от подложки путем кратковременного увеличения плотности тока до 100 мА/см<sup>2</sup>. Полученные образцы ПК представляли собой плоскопараллельные пластинки толщиной 20–30 мкм, в спектрах комбинационного рассеяния которых регистрировался узкий пик с положением около 520 см<sup>-1</sup>, характерный для кристаллического кремния, и отсутствовали какие-либо полосы, указывающие на присутствие аморфной фазы.

Образцы ПК (300 К) возбуждались ультракороткими импульсами (УКИ) второй гармоники Nd:YAG лазера (длительность – около 20 пс, энергия фотона – 2,33 эВ) и зондировались с помощью УКИ "белого" света в различные моменты времени после действия импульса накачки. По данным измерений нелинейного пропускания рассчитывались спектры дифференциального пропускания  $\Delta T(\lambda) = [T(\lambda) - T_0(\lambda)]/T_0(\lambda)$ , где  $T(\lambda)$  и  $T_0(\lambda)$  – спектры пропускания возбужденного и невозбужденного образца.

Спектры линейного поглощения исследуемых пластин ПК (рис. 1, а) содержат различные особенности, указывающие на дискретную характеристику оптических переходов в исследуемом материале. Коэффициент линейного поглощения

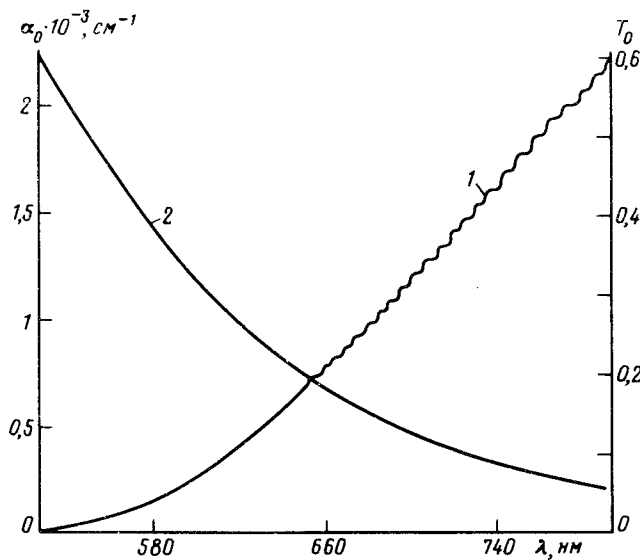


Рис.1. Спектры пропускания (1) и поглощения (2) невозбужденного образца ПК (толщина  $d = 23 \text{ мкм}$ ,  $T = 300 \text{ К}$ )

$\alpha_0$  быстро рос при энергиях фотона выше  $1,3 \text{ эВ}$  (от  $60 \text{ см}^{-1}$  при  $\hbar\omega = 1,32 \text{ эВ}$  до  $2,2 \cdot 10^3 \text{ см}^{-1}$  при  $\hbar\omega = 2,36 \text{ эВ}$ ), следуя зависимости  $\alpha_0 \propto \exp(-\hbar\omega/\Gamma_g)$  с параметром  $\Gamma_g = (0,32 \pm 0,06) \text{ эВ}$ . По расстоянию между максимумами интерференционной структуры в спектре  $T_0(\lambda)$  (см. рис.1) был определен линейный показатель преломления ПК:  $n_0 = 1,9$ , что почти вдвое меньше чем у объемного кремния.

На рис.2 приведены спектры дифференциального пропускания образца ПК для различных задержек  $\Delta t$  между УКИ возбуждения и зондирования. Полученные спектры соответствовали положительным значениям дифференциального пропускания, что указывало на действие эффекта наведенного просветления. При  $\Delta t = 0$  в спектре  $DT(\lambda)$  хорошо разрешались две сдвигнутое узкие полосы просветления со спектральным положением  $\lambda_1 = 735,6 \text{ нм}$  и  $\lambda_2 = 620,4 \text{ нм}$  (ширина полос по полувысоте составляла соответственно 75 и 56 мэВ). Величина наведенного изменения коэффициента поглощения  $|\Delta\alpha|$  в области пика  $\lambda_1$  достигала  $240 \text{ см}^{-1}$  ( $|\Delta\alpha|/\alpha_0 \approx 0,6$ ). При увеличении задержки  $\Delta t$  до 20 пс полоса  $\lambda_2$  исчезала из спектров  $DT(\lambda)$ . Время экспоненциальной релаксации полосы  $\lambda_1$  составляло около 40 пс (вставка на рис.1).

Дискретную структуру спектров  $DT(\lambda)$  и, в частности, спектральное положение полос просветления  $\lambda_1$  и  $\lambda_2$  можно объяснить насыщением оптических переходов в системе носителей, локализованных в квазиодномерных нитях. Отсутствие аналогичной структуры в спектрах линейного пропускания вызвано, по-видимому, сильным неоднородным уширением уровней размерного квантования (из-за дисперсии поперечных размеров нитей), которое существенно подавлено в спектрах нелинейного пропускания в связи с селективным действием узкополосного лазерного излучения накачки (этот эффект наблюдался

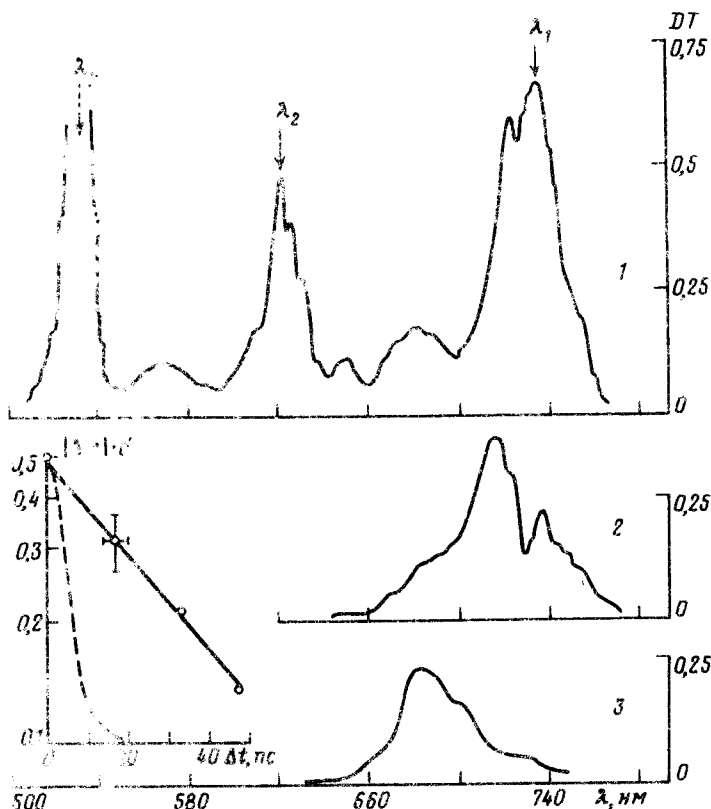


Рис.2. Спектры дифференциального пропускания образца ПК ( $d = 23 \mu\text{мм}$ ,  $T = 300 \text{ К}$ ) при различных задержках  $\Delta t$  между УКИ возбуждения и зондирования:  $\Delta t = 0$  (1), 17 пс (2), 33 пс (3). Вставка - динамика релаксации паведенных изменений коэффициента поглощения в максимуме полосы просветления  $\lambda_1$  (штриховой линии показана динамика изменения площади перекрытия УКИ возбуждения и зондирования при изменении задержки  $\Delta t$ )

нами ранее при исследовании квазинульмерных нанокристаллов<sup>3</sup> и подробно проанализирован в<sup>4</sup>).

При проведении оценок энергий оптических переходов рассмотрены нити, имеющие форму длинных параллелепипедов, ориентированных вдоль оси [001] (это направление является преимущественным при росте пор<sup>5</sup>), с гранями, перпендикулярными направлениям [110] и [110]. Для получения представления о характере оптических переходов в таких структурах можно рассмотреть проекцию зонной структуры объемного материала на одномерную зону Бриллюэна квантовой нити. При этом две электронные долины, лежащие в направлении [001], формируют непрямой минимум (с  $k \sim \pm 0,4\pi/a$ ). Четыре электронные долины, лежащие в перпендикулярных направлениях, проецируются в центр зоны Бриллюэна и формируют абсолютный прямой минимум, благодаря чему квазиодномерный кремний, в отличие от объемного, является, по-видимому, прямозонным материалом<sup>6</sup>. Квантоворазмерный сдвиг уровней, соответствующих центру зоны Бриллюэна, определяется электронной массой для [110] направления  $m_{110}^*$ . Энергии оптических переходов в рассматриваемой квази-

одномерной структуре можно найти из следующего выражения (пренебрегаем кулоновскими эффектами и спин-орбитальным расщеплением):

$$E_{n_1 n_2}^{l(h)} = E_q^x + \frac{\hbar^2 \pi^2 (n_1^2 + n_2^2)}{2\mu_{l(h)} L^2}, \quad (1)$$

где  $E_q^x$  – величина непрямой энергетической щели в объемном кремни,  $\mu_{l(h)} = m_{110}^e m_{l(h)}^h / (m_{110}^e + m_{l(h)}^h)$  – приведенная масса носителей для легких ( $l$ ) и тяжелых ( $h$ ) дырок,  $n_1$  и  $n_2$  – квантовые числа (принимают значения 1,2,3 и т.д.),  $L$  – поперечный размер нитей. Полосы  $\lambda_1$  и  $\lambda_2$ , регистрируемые в спектрах  $DT(\lambda)$ , можно связать с насыщением двух нижних оптических переходов  $E_{11}^h$  и  $E_{11}^l$ . Коротковолновый сдвиг этих полос относительно  $E_q^x$  составляет 0,57 ( $\lambda_1$ ) и 0,89 эВ ( $\lambda_2$ ), что с учетом выражения (1) соответствует поперечному размеру нитей 2,6–2,8 нм. Причина доминирующего вклада нитей именно этого размера в спектры нелинейного пропускания связана, по-видимому, с тем обстоятельством, что энергия третьего оптического перехода  $E_{12}^h (E_{21}^h)$  в них близка к энергии лазерного фотона, что и обеспечивает высокую эффективность их взаимодействия с падающим излучением.

Полученные данные позволяют оценить мнимую часть резонансной нелинейной кубической восприимчивости керровского типа  $\text{Im}\chi^{(3)}$ , которая в случае относительно низких концентраций носителей  $n_e$  (при которых  $\chi^{(3)}$  играет доминирующую роль в формировании нелинейно-оптического отклика) может быть определена из соотношения

$$\text{Im}\chi^{(3)}(\omega) = \frac{c^2 n_0^2}{8\pi^2 \omega} \frac{\tau_e \alpha_0(\omega) \Delta\alpha(\omega)}{\hbar \omega n_e}, \quad (2)$$

где  $\tau_e$  – характерное время жизни носителей. Используя в (2) результаты проведенных измерений, получим  $|\text{Im}\chi^{(3)}| \cong 10^{-8}$  СГС, что на несколько порядков выше значений, характерных для нерезонансных нелинейностей в прозрачных нелинейно-оптических материалах.

В заключение отметим, что в проведенных измерениях обнаружена дискретная структура развернутых во времени спектров нелинейного пропускания пористого кремния, которая может быть объяснена действием эффектов размерного квантования. Зарегистрированные в работе сильные и быстрорелаксирующие нелинейности позволяют рассчитывать на возможность создания на базе пористого кремния не только эффективных излучателей, но также и совместимых с ними скоростных нелинейно-оптических переключателей.

1. L.T.Canham, Appl. Phys. Lett. **57**, 1046 (1990).
2. M.Voos, Ph.Uzeln, C.Delalande and G.Bastard, Appl. Phys. Lett. **61**, 1213 (1992).
3. Ю.В.Вандышев, В.С.Днепровский, В.И.Климов, ЖЭТФ **101**, 270 (1992).
4. В.И.Климов, ФТТ **34**, 2472 (1992).
5. R.L.Smith and S.D.Collins, J. Appl. Phys. **71**, R1 (1992).
6. F.Buda, J.Kohanoff, and M.Parrinello, Phys. Rev. Lett. **69**, 1272 (1992).